

Международный союз электросвязи

МСЭ-R

Сектор радиосвязи МСЭ

Рекомендация МСЭ-R P.1239-2
(10/2009)

**Эталонные характеристики ионосферы,
разработанные МСЭ-R**

Серия Р
Распространение радиоволн



Международный
союз
электросвязи

Предисловие

Роль Сектора радиосвязи заключается в обеспечении рационального, справедливого, эффективного и экономичного использования радиочастотного спектра всеми службами радиосвязи, включая спутниковые службы, и проведении в неограниченном частотном диапазоне исследований, на основании которых принимаются Рекомендации.

Всемирные и региональные конференции радиосвязи и ассамблеи радиосвязи при поддержке исследовательских комиссий выполняют регламентарную и политическую функции Сектора радиосвязи.

Политика в области прав интеллектуальной собственности (ПИС)

Политика МСЭ-R в области ПИС излагается в общей патентной политике МСЭ-T/МСЭ-R/ИСО/МЭК, упоминаемой в Приложении 1 к Резолюции 1 МСЭ-R. Формы, которые владельцам патентов следует использовать для представления патентных заявлений и деклараций о лицензировании, представлены по адресу: <http://www.itu.int/ITU-R/go/patents/en>, где также содержатся Руководящие принципы по выполнению общей патентной политики МСЭ-T/МСЭ-R/ИСО/МЭК и база данных патентной информации МСЭ-R.

Серии Рекомендаций МСЭ-R

(Представлены также в онлайн-форме по адресу: <http://www.itu.int/publications/R-REC/en>.)

Серия	Название
BO	Спутниковое радиовещание
BR	Запись для производства, архивирования и воспроизведения; пленки для телевидения
BS	Радиовещательная служба (звуковая)
BT	Радиовещательная служба (телевизионная)
F	Фиксированная служба
M	Подвижная спутниковая служба, спутниковая служба радиоопределения, любительская спутниковая служба и относящиеся к ним спутниковые службы
P	Распространение радиоволн
RA	Радиоастрономия
RS	Системы дистанционного зондирования
S	Фиксированная спутниковая служба
SA	Космические применения и метеорология
SF	Совместное использование частот и координация между системами фиксированной спутниковой службы и фиксированной службы
SM	Управление использованием спектра
SNG	Спутниковый сбор новостей
TF	Передача сигналов времени и эталонных частот
V	Словарь и связанные с ним вопросы

Примечание. – Настоящая Рекомендация МСЭ-R утверждена на английском языке в соответствии с процедурой, изложенной в Резолюции 1 МСЭ-R.

Электронная публикация
Женева, 2010 г.

© ITU 2010

Все права сохранены. Ни одна из частей данной публикации не может быть воспроизведена с помощью каких бы то ни было средств без предварительного письменного разрешения МСЭ.

РЕКОМЕНДАЦИЯ МСЭ-R P.1239-2

Эталонные характеристики ионосферы, разработанные МСЭ-R*

(Вопрос МСЭ-R 212/3)

(1997-2007-2009)

Сфера применения

В настоящей Рекомендации приводятся модели и численные карты месячных медианных характеристик ионосферы, а также информация, касающаяся статистической изменчивости.

Ассамблея радиосвязи МСЭ,

учитывая,

а) что для проектирования радиосхем, планирования служб и выбора полосы частот необходимы долгосрочные данные об эталонной ионосфере и методы прогнозирования распространения радиоволн,

рекомендует,

1 чтобы для прогнозирования ионосферных характеристик использовались формулы, представленные в Приложении 1.

Приложение 1**Характеристики ионосферы****1 Введение**

Представлены выражения для определения медианных значений f_oF_2 , $M(3000)F_2$, f_oE , f_oF_1 , $h'F$ и $h'F, F_2$, а также месячных медиан и верхних и нижних децилей f_oE_s и f_bE_s . Также даются выражения для определения процента времени возникновения рассеивающего слоя F. Эти формулы позволяют определить соответствующие значения для любого места, месяца и времени дня для различных периодов солнечной активности. Для определения f_oE и f_oF_1 представлены эмпирические формулы, выражающие эти значения через зенитный угол солнца. Для определения других ионосферных характеристик применяется метод численного картирования, основанный на применении ортогональных функций Фурье.

* Компьютерные программы, реализующие описываемые процедуры прогнозирования, и данные, описываемые в настоящей Рекомендации, имеются в разделе веб-сайта МСЭ-R, посвященном 3-й Исследовательской комиссии по радиосвязи.

2 Функции численного картирования

Основная форма функций численного картирования $\Omega(\lambda, \theta, T)$ – это временные ряды Фурье:

$$\Omega(\lambda, \theta, T) = a_0(\lambda, \theta) + \sum_{j=1}^H [a_j(\lambda, \theta) \cos j T + b_j(\lambda, \theta) \sin j T], \quad (1)$$

где:

Ω : отображаемые ионосферные характеристики

λ : географическая широта ($-90^\circ \leq \lambda \leq 90^\circ$)

θ : восточная географическая широта ($0^\circ \leq \theta \leq 360^\circ$)
(θ – в градусах на восток от Гринвичского меридиана)

T : универсальное время (UTC), представленное в виде угла ($-180^\circ \leq T \leq 180^\circ$)

H : максимальное количество гармоник, используемых для представления суточных вариаций.

Значения коэффициентов Фурье, $a_j(\lambda, \theta)$ и $b_j(\lambda, \theta)$, меняются в зависимости от географических координат и могут быть представлены в виде следующих рядов:

$$a_j(\lambda, \theta) = \sum_{k=0}^K U_{2j,k} G_k(\lambda, \theta), \quad j = 0, 1, 2, \dots, H \quad (2a)$$

$$b_j(\lambda, \theta) = \sum_{k=0}^K U_{2j-1,k} G_k(\lambda, \theta), \quad j = 1, 2, \dots, H. \quad (2b)$$

Выбор функций $G_k(\lambda, \theta)$ в конкретных случаях определяется значением целого числа k ($k_0, k_1, k_2, \dots, k_i, \dots, k_m; k_m = K$), где i – порядок долготы. Следовательно, функцию численного картирования можно записать в более явном виде:

$$\Omega(\lambda, \theta, T) = \sum_{k=0}^K U_{0,k} G_k(\lambda, \theta) + \sum_{j=1}^H \left[\cos j T \sum_{k=0}^K U_{2j,k} G_k(\lambda, \theta) + \sin j T \sum_{k=0}^K U_{2j-1,k} G_k(\lambda, \theta) \right] \quad (3)$$

$U_{2j,k}$ и $U_{2j-1,k}$ в уравнениях (2a), (2b) и (3) можно обозначить через $U_{s,k}$, где s равно либо $2j$, либо $2j-1$.

В методе численного картирования использовалось модифицированное магнитное наклонение:

$$X = \arctg \left(\frac{I}{\sqrt{\cos \lambda}} \right), \quad (4)$$

где I – магнитное наклонение, а λ – географическая широта. Поскольку X является функцией как географической широты, так и долготы, формальное выражение для $\Omega(\lambda, \theta, T)$, а именно уравнение (3), остается неизменным. В таблице 1 представлены географические функции $G_k(\lambda, \theta)$.

Модель магнитного поля Земли для солнечного цикла 1960 г., основанная на сферических гармониках шестого порядка, используется для определения модифицированного магнитного наклонения и гирочастоты, необходимых для численного картирования. Необходимо использовать солнечный цикл 1960 г., а не какой-либо другой, потому что именно он используется в процессе определения численных коэффициентов.

ТАБЛИЦА 1

Функции географических координат $G_k(\lambda, \theta)$ (X является функцией λ и θ , m – максимальный порядок долготы)

$$q_0 = k_0; q_1 (i = 1, m) = \frac{k_i - k_{i-1} - 2}{2}$$

k	Изменения основной долготы	k	Долгота первого порядка	k	Долгота второго порядка	...	k	Долгота m -го порядка
0	1	$k_0 + 1$	$\cos \lambda \cos \theta$	$k_1 + 1$	$\cos^2 \lambda \cos 2 \theta$...	$k_{m-1} + 1$	$\cos^m \lambda \cos m \theta$
1	$\sin X$	$k_0 + 2$	$\cos \lambda \sin \theta$	$k_1 + 2$	$\cos^2 \lambda \sin 2 \theta$...	$k_{m-1} + 2$	$\cos^m \lambda \sin m \theta$
2	$\sin^2 X$	$k_0 + 3$	$\sin X \cos \lambda \cos \theta$	$k_1 + 3$	$\sin X \cos^2 \lambda \cos 2 \theta$...	$k_{m-1} + 3$	$\sin X \cos^m \lambda \cos m \theta$
.		$k_0 + 4$	$\sin X \cos \lambda \sin \theta$	$k_1 + 4$	$\sin X \cos^2 \lambda \sin 2 \theta$...	$k_{m-1} + 4$	$\sin X \cos^m \lambda \sin m \theta$
.		.		.			.	
.		.		.			.	
k_0	$\sin^{q_0} X$	$k_1 - 1$	$\sin^{q_1} X \cos \lambda \cos \theta$	$k_2 - 1$	$\sin^{q_2} X \cos^2 \lambda \cos 2 \theta$...	$k_m - 1$	$\sin^{q_m} X \cos^m \lambda \cos m \theta$
		k_1	$\sin^{q_1} X \cos \lambda \sin \theta$	k_2	$\sin^{q_2} X \cos^2 \lambda \sin 2 \theta$...	k_m	$\sin^{q_m} X \cos^m \lambda \sin m \theta$

Значения магнитной индукции F_x , F_y и F_z (в гауссах) в направлении географического севера, востока и вертикально вниз, соответственно, определяются как:

$$F_x = \sum_{n=1}^6 \sum_{m=0}^n x_n^m [g_n^m \cos m \theta + h_n^m \sin m \theta] R^{n+2} \quad (5a)$$

$$F_y = \sum_{n=1}^6 \sum_{m=0}^n y_n^m [g_n^m \sin m \theta - h_n^m \cos m \theta] R^{n+2} \quad (5b)$$

$$F_z = \sum_{n=1}^6 \sum_{m=0}^n z_n^m [g_n^m \cos m \theta + h_n^m \sin m \theta] R^{n+2}, \quad (5c)$$

где:

$$x_n^m = \frac{d}{d \varphi} (P_{n,m}(\cos \varphi)) \quad (6a)$$

$$y_n^m = m \cdot \frac{P_{n,m}(\cos \varphi)}{\sin \varphi} \quad (6b)$$

$$z_n^m = -(n+1) m P_{n,m}(\cos \varphi). \quad (6c)$$

В этих уравнениях:

φ : дополнение северной широты ($= 90^\circ - \lambda$), где λ – географическая широта в градусах (северная, положительная, $-90^\circ \leq \lambda \leq 90^\circ$)

$P_{n,m}(\cos \varphi)$: соответствующая функция Лежандра, определяемая как:

$$P_{n,m}(\cos \varphi) = \sin^m \varphi \left[\cos^{n-m} \varphi - \frac{(n-m)(n-m-1)}{2(2n-1)} \cos^{n-m-2} \varphi + \frac{(n-m)(n-m-1)(n-m-2)(n-m-3)}{(2)(4)(2n-1)(2n-3)} \cos^{n-m-4} \varphi + \dots \right] \quad (7)$$

$g^{m,n}$ и $h^{m,n}$: численные коэффициенты в модели магнитного поля в гауссовской системе единиц

R : масштабный множитель, зависящий от высоты и определяемый как:

$$R = \frac{6371,2}{6371,2 + h_r}, \quad (8)$$

где:

h_r : высота, на которой рассчитывается магнитное поле (принята равной 300 км).

Суммарное магнитное поле, F , определяется по формуле:

$$F = \sqrt{F_x^2 + F_y^2 + F_z^2}. \quad (9)$$

Магнитное наклонение, I , и гирочастоту, f_H (МГц), находят следующим образом:

$$I = \operatorname{tg}^{-1} \left(\frac{F_z}{\sqrt{F_x^2 + F_y^2}} \right) \quad (10)$$

и:

$$f_H = 2,8 F. \quad (11)$$

3 Прогнозирование foF2 и M(3000)F2

3.1 Месячные медианные значения

Цифровые карты слоя F2 составляются на основе вертикального зондирования ионосферы с помощью большого количества наземных станций, расположенных по всему миру. Численные коэффициенты, характеризующие суточные и географические вариации месячных медиан foF2 и M(3000)F2, определяются на основе их линейной зависимости от солнечной активности¹. Эти коэффициенты представляют собой значения множителя $U_{s,k}$ (см. уравнения (2) и (3)), которые определяют функцию отображения $\Omega(\lambda, \theta, T)$, используемую для составления численной карты данного параметра ионосферы для указанного месяца и уровня солнечной активности. Имеются значения коэффициентов для всех месяцев в году при двух уровнях солнечной активности: $R_{12} = 0$ и $R_{12} = 100$. R_{12} – это скользящее среднее за двенадцать месяцев число солнечных пятен, которое используется в качестве индекса уровня солнечной активности.

Для некоторых применений может оказаться более целесообразным использовать для ионосферных характеристик таблицы координат, а не вводимое уравнение (1). Компьютерные программы для расчета таблиц координат для foF2 и M(3000)F2 представлены на веб-сайте 3-й Исследовательской комиссии по радиосвязи в двух альтернативных процедурах программного обеспечения. Полученные на основе одной из указанных выше программ таблицы координат для foF2 и M(3000)F2 также представлены на веб-сайте 3-й Исследовательской комиссии по радиосвязи. Для оценки параметров координат следует использовать процедуру билинейной интерполяции, которая представлена в Рекомендации МСЭ-R P.1144 (Приложение 1).

Для большинства целей вполне разумно предположить, что между R_{12} и как foF2, так и M(3000)F2 существует линейная зависимость. Однако зависимость между foF2 и R_{12} становится нелинейной, когда уровень солнечной активности зависит от географического местоположения, времени суток и сезона. Наиболее заметное отклонение от линейной зависимости установлено для величин R_{12} выше приблизительно 150. Для значений R_{12} больших 150 можно уменьшить погрешность, положив эти значения равными 150. Взаимосвязь между M(3000)F2 и R_{12} остается линейной во всем диапазоне значений вплоть до $R_{12} = 150$. Для более высоких значений R_{12} величина M(3000)F2 принимается равной той, что получена для $R_{12} = 150$.

¹ Имеется несколько различных наборов коэффициентов. Рекомендуется тот набор, который утвержден на Пленарной ассамблее МККР, Осло, 1966 г.

3.2 Показатели изменчивости

В таблицах 2 и 3 приведены значения децильных коэффициентов для описания суточных изменений foF2 в течение месяца. В таблицах приводится местное время и географическая широта в контрольной точке. Таблицы составлены для трех диапазонов чисел солнечных пятен, R_{12} , и трех сезонов:

Зима: ноябрь–февраль в северном полушарии и май–август в южном полушарии

Равноденствие: март, апрель, сентябрь и октябрь

Лето: май–август в северном полушарии и ноябрь–февраль в южном полушарии.

Для получения промежуточных значений между табличными значениями может использоваться билинейная интерполяция.

4 Прогнозирование foE

Метод прогнозирования месячного медианного значения foE основан на использовании всех опубликованных данных, собранных за период с 1944 по 1973 год на 55 ионосферных станциях.

Значение foE (МГц) определяется как:

$$(\text{foE})^4 = A B C D, \quad (12)$$

где:

A : коэффициент солнечной активности, вычисляемый по формуле:

$$A = 1 + 0,0094 (\Phi - 66) \quad (13)$$

Φ : среднемесячная интенсивность потока солнечного радиосвета на 10,7 см, выраженная в единицах: 10^{-22} Вт м⁻² Гц⁻¹. Для целей прогнозирования вместо точного значения Φ можно использовать приближенное, сглаженное за двенадцать месяцев значение Φ_{12} , (см. Рекомендацию МСЭ-R P.371)

B : сезонный коэффициент, определяемый как:

$$B = \cos^m N, \quad (14)$$

где:

$$N = \lambda - \delta \text{ для } |\lambda - \delta| < 80^\circ \text{ и } N = 80^\circ \text{ для } |\lambda - \delta| \geq 80^\circ$$

λ : географическая широта, которая считается положительной в северном полушарии

δ : солнечное склонение, причем северное склонение считается положительным.

Показатель степени m является функцией географической широты, λ :

$$m = -1,93 + 1,92 \cos \lambda \quad \text{для } |\lambda| < 32^\circ \quad (15a)$$

или:

$$m = 0,11 - 0,49 + \cos \lambda \quad \text{для } |\lambda| < 32^\circ \quad (15b)$$

C : коэффициент основной широты, определяемый как:

$$C = X + Y \cos \lambda, \quad (16a)$$

где:

$$X = 23, Y = 116 \quad \text{для } |\lambda| < 32^\circ \quad (16b)$$

или:

$$X = 92, Y = 35 \quad \text{для } |\lambda| < 32^\circ \quad (16c)$$

D : коэффициент, учитывающий время суток.

1-й случай: $\chi \leq 73^\circ$

$$D = \cos^p \chi, \quad (17a)$$

где χ – зенитный угол солнца в градусах. Для $|\lambda| \leq 12^\circ$, $p = 1,31$; для $|\lambda| > 12^\circ$, $p = 1,20$.

2-й случай: $73^\circ < \chi < 90^\circ$

$$D = \cos^p (\chi - \delta\chi), \quad (17b)$$

где:

$$\delta\chi = 6,27 \times 10^{-13} (\chi - 50)^8 \quad \text{градусы}, \quad (17c)$$

а p такое же, как и в 1-ом случае.

3-й случай: $\chi \geq 90^\circ$

За значение D в ночное время при $\chi \geq 90^\circ$ принимается бóльшая из следующих величин:

$$D = (0,072)^p \exp(-1,4 h) \quad (17d)$$

или:

$$D = (0,072)^p \exp(25,2 - 0,28 \chi), \quad (17e)$$

где h – количество часов после захода солнца ($\chi = 90^\circ$). В условиях полярной зимы, когда солнце не восходит, уравнением (17e) не следует пользоваться. p в 3-м случае имеет такое же значение, как и в 1-ом.

Минимальное значение foE определяется по формуле:

$$(\text{foE})_{\text{minimum}}^4 = 0,004 (1 + 0,021 \Phi)^2, \quad (18)$$

где Φ можно аппроксимировать приближенным значением Φ_{12} .

Если значение foE в ночное время, вычисленное с помощью уравнений (12)–(17e) оказывается меньше величины, получаемой с помощью уравнения (18), то использовать следует последнюю.

Проверка точности описанного метода прогнозирования на базе данных, содержащей 80 000 результатов сравнений ежечасных значений foE для 55 станций, показала, что медиана среднеквадратичного отклонения составляет 0,11 МГц.

5 Прогнозирование foF1

Выражения для месячного медианного значения foF1 получены на основе данных, записанных в период с 1954 по 1966 год на 39 ионосферных станциях, расположенных в обоих полушариях.

Значение foF1 (МГц) определяется как:

$$\text{foF1} = f_s \cos^n \chi, \quad (19)$$

где:

$$\begin{aligned} f_s &= f_{s_0} + 0,01 (f_{s_{100}} - f_{s_0}) R_{12} \\ f_{s_0} &= 4,35 + 0,0058 \lambda - 0,000120 \lambda^2 \\ f_{s_{100}} &= 5,35 + 0,0110 \lambda - 0,000230 \lambda^2 \\ n &= 0,093 + 0,00461 \lambda - 0,0000540 \lambda^2 + 0,00031 R_{12} \end{aligned}$$

и где λ – значение геомагнитной широты в градусах, которое считается положительным в обоих полушариях и определяется по формуле:

$$\lambda = \left| \arcsin [\sin g_0 \cdot \sin g + \cos g_0 \cdot \cos g \cdot \cos (\theta_0 - \theta)] \right|,$$

где:

- g : географическая широта рассматриваемого места
 g_0 : географическая широта северного геомагнитного полюса (принимается равной $78,3^\circ$ с. ш.)
 θ : географическая долгота рассматриваемого места
 θ_0 : географическая долгота северного геомагнитного полюса (принимается равной $69,0^\circ$ з. д.).

Максимальное значение солнечного зенитного угла, при котором существует слой F1 (см. также рис. 1 и 2), определяется с помощью следующих выражений:

$$\chi_m = \chi_0 + 0,01 (\chi_{100} - \chi_0) R_{12} \quad \text{градусы,} \quad (20)$$

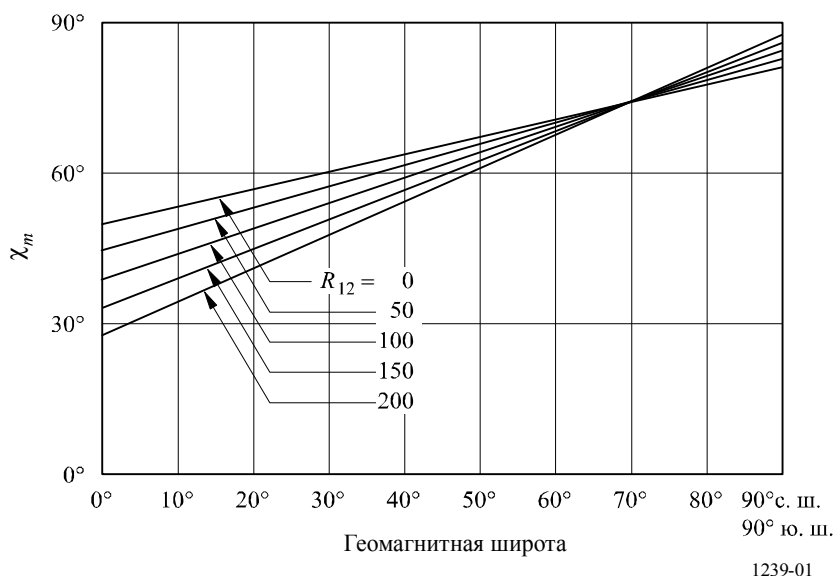
где:

$$\chi_0 = 50,0 + 0,348 \lambda$$

$$\chi_{100} = 38,7 + 0,509 \lambda$$

РИСУНОК 1

Изменение χ_m в зависимости от геомагнитной широты и R_{12}



6 Прогнозирование foEs и fbEs

Были получены наборы коэффициентов, отражающих суточные, географические и месячные изменения медиан и верхних и нижних децилей foEs для года минимальной солнечной активности и года максимальной солнечной активности, а также набор численных коэффициентов, характеризующих изменения медиан и верхних и нижних децилей fbEs (частота наружного спорадического слоя E) для года минимальной солнечной активности.

7 Прогнозирование h'F и h'F,F2

На основе месячных данных для годов минимальной и максимальной солнечной активности были разработаны цифровые карты месячных медианных значений h'F, которое представляет собой минимальную наблюдаемую фактическую высоту отражения сигнала, падающего вертикально из области F (как правило, из слоя F2 – в ночное время и из слоя F1 – в дневное). Были также разработаны карты h'F,F2 для годов максимальной и минимальной солнечной активности.

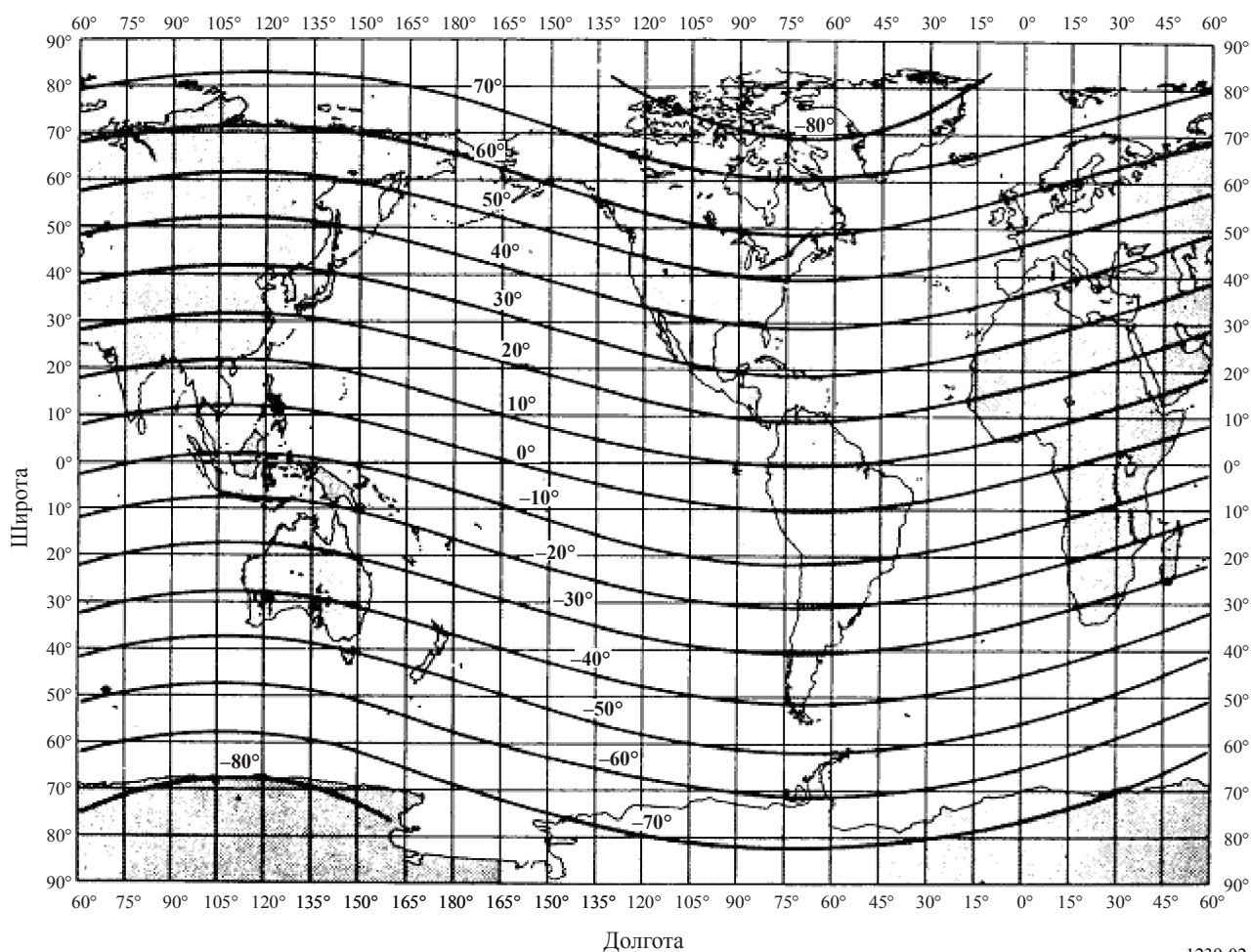
$h'F, F_2$ представляет собой комбинацию минимальных наблюдаемых фактических высот отражения сигнала, вертикально падающего из слоя F в ночное время и из слоя F2 – в дневное.

8 Прогнозирование процента времени возникновения рассеивающего слоя F

Процент времени возникновения рассеивающего слоя F определялся на основе ионосферных данных, собранных с помощью глобальной сети станций вертикального зондирования ионосферы на месячной основе для года высокой солнечной активности и для года низкой солнечной активности. Полученные значения были представлены в цифровом виде с помощью метода численного картирования.

РИСУНОК 2

Геомагнитные широты



1239-02

9 Существующие компьютерные программы и эталонные данные

Описанные в настоящем Приложении процедуры реализованы в компьютерных программах WOMAP и HRMNTN. Программа WOMAP позволяет получить информацию о значениях выбранных ионосферных параметров в указанном месте определенной географической области для заданного универсального времени, месяца и солнечного цикла. Дополнительная программа HRMNTN представляет выбранные ионосферные параметры в указанном месте и для заданного времени в виде функции от универсального времени для каждого месяца и соответствующего солнечного цикла.

Требуемые двенадцать текстовых файлов с коэффициентами, по одному для каждого месяца, содержатся на веб-сайте 3-й Исследовательской комиссии по радиосвязи. Каждый файл содержит коэффициенты для foF2, M(3000)F2, foE, медианных значений foEs, верхних децилей foEs, нижних децилей foEs, h'F и h'F,F2 при двух уровнях солнечной активности, $R_{12} = 0$ и $R_{12} = 100$. Каждый набор коэффициентов состоит из ряда значений k , которые используются для расчета значения G_k в таблице 1 и соответствующих коэффициентов $U_{s,k}$, используемых для определения рядов a_j и b_j в уравнении (1). Эти коэффициенты были утверждены на Пленарной ассамблее бывшего МККР, состоявшейся в Осло в 1966 году.

Таблицы координат для foF2 и M(3000)F2 при разрешении $1,5^\circ$ для каждого из 24 месячных медианных значений представлены на веб-сайте 3-й Исследовательской комиссии по радиосвязи.

ТАБЛИЦА 2

Нижние децильные коэффициенты для изменений foF2 в течение месяца

а) изменчивость foF2: нижняя дециль, зима, $R_{12} < 50$

Широта	Местное время (час.)																								
	00	01	02	03	04	05	06	07	08	09	10	11	12	13	14	15	16	17	18	19	20	21	22	23	
90°	0,67	0,67	0,67	0,67	0,67	0,67	0,67	0,67	0,67	0,67	0,67	0,67	0,67	0,67	0,67	0,67	0,67	0,67	0,67	0,67	0,67	0,67	0,67	0,67	
85°	0,64	0,64	0,64	0,66	0,66	0,66	0,67	0,68	0,68	0,68	0,68	0,70	0,70	0,70	0,70	0,68	0,68	0,68	0,68	0,67	0,67	0,67	0,66	0,64	
80°	0,60	0,60	0,62	0,65	0,65	0,65	0,67	0,69	0,69	0,69	0,70	0,72	0,72	0,72	0,70	0,68	0,68	0,68	0,68	0,67	0,67	0,67	0,64	0,60	
75°	0,64	0,64	0,66	0,68	0,68	0,68	0,70	0,72	0,72	0,72	0,73	0,74	0,74	0,74	0,73	0,72	0,72	0,72	0,70	0,68	0,68	0,68	0,66	0,64	
70°	0,68	0,68	0,70	0,71	0,71	0,71	0,73	0,75	0,75	0,75	0,76	0,76	0,76	0,76	0,76	0,75	0,75	0,75	0,72	0,70	0,70	0,70	0,69	0,68	
65°	0,71	0,71	0,72	0,74	0,74	0,74	0,76	0,78	0,78	0,78	0,78	0,78	0,78	0,78	0,78	0,78	0,78	0,78	0,75	0,72	0,72	0,72	0,72	0,71	
60°	0,74	0,74	0,75	0,76	0,76	0,76	0,78	0,80	0,80	0,80	0,80	0,80	0,80	0,80	0,81	0,82	0,82	0,82	0,78	0,73	0,73	0,73	0,74	0,74	
55°	0,76	0,76	0,76	0,77	0,77	0,77	0,80	0,82	0,82	0,82	0,82	0,82	0,82	0,82	0,82	0,83	0,83	0,83	0,78	0,74	0,74	0,74	0,75	0,76	
50°	0,79	0,79	0,78	0,78	0,78	0,78	0,80	0,83	0,83	0,83	0,84	0,85	0,85	0,85	0,84	0,84	0,84	0,84	0,80	0,76	0,76	0,76	0,78	0,79	
45°	0,80	0,80	0,79	0,78	0,78	0,78	0,81	0,84	0,84	0,84	0,85	0,86	0,86	0,86	0,86	0,86	0,86	0,86	0,81	0,76	0,76	0,76	0,78	0,80	
40°	0,81	0,81	0,80	0,79	0,79	0,79	0,82	0,85	0,85	0,85	0,86	0,87	0,87	0,87	0,88	0,89	0,89	0,89	0,83	0,77	0,77	0,77	0,79	0,81	
35°	0,81	0,81	0,78	0,76	0,76	0,76	0,81	0,86	0,86	0,86	0,86	0,85	0,84	0,84	0,84	0,86	0,87	0,87	0,82	0,78	0,78	0,78	0,80	0,81	
30°	0,81	0,81	0,78	0,74	0,74	0,74	0,80	0,86	0,86	0,86	0,86	0,84	0,82	0,82	0,82	0,84	0,85	0,85	0,82	0,78	0,78	0,78	0,80	0,81	
25°	0,80	0,80	0,75	0,70	0,70	0,70	0,78	0,86	0,86	0,86	0,86	0,82	0,78	0,78	0,78	0,80	0,81	0,81	0,80	0,78	0,78	0,78	0,79	0,80	
20°	0,78	0,78	0,72	0,67	0,67	0,67	0,77	0,87	0,87	0,87	0,87	0,81	0,75	0,75	0,75	0,76	0,77	0,77	0,77	0,78	0,79	0,79	0,79	0,78	0,78
15°	0,74	0,74	0,71	0,68	0,68	0,68	0,76	0,88	0,88	0,88	0,88	0,84	0,80	0,80	0,80	0,81	0,82	0,82	0,80	0,79	0,79	0,79	0,76	0,74	
10°	0,71	0,71	0,70	0,70	0,70	0,70	0,79	0,88	0,88	0,88	0,88	0,87	0,86	0,86	0,86	0,86	0,87	0,87	0,87	0,83	0,79	0,79	0,79	0,75	0,71
5°	0,71	0,71	0,70	0,70	0,70	0,70	0,79	0,88	0,88	0,88	0,88	0,87	0,86	0,86	0,86	0,86	0,87	0,87	0,87	0,83	0,79	0,79	0,79	0,75	0,71
0°	0,72	0,72	0,72	0,72	0,72	0,72	0,78	0,84	0,84	0,84	0,84	0,84	0,84	0,84	0,84	0,84	0,84	0,84	0,80	0,74	0,74	0,74	0,74	0,72	

ТАБЛИЦА 2 (продолжение)

в) изменчивость foF2: нижняя дециль, зима, $50 \leq R_{12} \leq 100$

Широта	Местное время (час.)																								
	00	01	02	03	04	05	06	07	08	09	10	11	12	13	14	15	16	17	18	19	20	21	22	23	
90°	0,70	0,70	0,70	0,70	0,70	0,70	0,70	0,70	0,70	0,70	0,70	0,70	0,70	0,70	0,70	0,70	0,70	0,70	0,70	0,70	0,70	0,70	0,70	0,70	
85°	0,73	0,73	0,74	0,74	0,74	0,74	0,72	0,69	0,69	0,69	0,69	0,68	0,68	0,68	0,67	0,66	0,66	0,66	0,68	0,70	0,70	0,70	0,72	0,73	
80°	0,76	0,76	0,77	0,78	0,78	0,78	0,73	0,68	0,68	0,68	0,68	0,67	0,67	0,67	0,64	0,62	0,62	0,62	0,66	0,70	0,70	0,70	0,73	0,76	
75°	0,78	0,78	0,79	0,80	0,80	0,80	0,76	0,71	0,71	0,71	0,70	0,68	0,68	0,68	0,68	0,68	0,68	0,70	0,72	0,72	0,72	0,75	0,78		
70°	0,79	0,79	0,80	0,81	0,81	0,81	0,78	0,74	0,74	0,74	0,72	0,70	0,70	0,70	0,72	0,73	0,73	0,73	0,73	0,73	0,73	0,73	0,76	0,79	
65°	0,80	0,80	0,81	0,82	0,82	0,82	0,79	0,76	0,76	0,76	0,74	0,72	0,72	0,72	0,74	0,76	0,76	0,76	0,75	0,74	0,74	0,74	0,77	0,80	
60°	0,82	0,82	0,82	0,83	0,83	0,83	0,81	0,79	0,79	0,79	0,77	0,75	0,75	0,75	0,78	0,80	0,80	0,80	0,78	0,76	0,76	0,76	0,79	0,82	
55°	0,83	0,83	0,82	0,82	0,82	0,82	0,82	0,81	0,81	0,81	0,80	0,78	0,78	0,78	0,80	0,82	0,82	0,82	0,80	0,77	0,77	0,77	0,80	0,83	
50°	0,84	0,84	0,83	0,82	0,82	0,82	0,82	0,83	0,83	0,83	0,83	0,82	0,81	0,81	0,81	0,82	0,84	0,84	0,84	0,81	0,78	0,78	0,78	0,81	0,84
45°	0,84	0,84	0,83	0,82	0,82	0,82	0,83	0,84	0,84	0,84	0,84	0,84	0,84	0,84	0,84	0,85	0,85	0,85	0,82	0,78	0,78	0,78	0,81	0,84	
40°	0,83	0,83	0,82	0,81	0,81	0,81	0,83	0,85	0,85	0,85	0,86	0,86	0,86	0,86	0,86	0,86	0,86	0,86	0,82	0,79	0,79	0,79	0,81	0,83	
35°	0,80	0,80	0,79	0,78	0,78	0,78	0,82	0,85	0,85	0,85	0,86	0,86	0,86	0,86	0,86	0,86	0,86	0,86	0,82	0,78	0,78	0,78	0,79	0,80	
30°	0,78	0,78	0,77	0,76	0,76	0,76	0,80	0,85	0,85	0,85	0,85	0,85	0,85	0,85	0,85	0,85	0,85	0,85	0,82	0,78	0,78	0,78	0,78	0,78	
25°	0,76	0,76	0,75	0,74	0,74	0,74	0,80	0,85	0,85	0,85	0,84	0,84	0,84	0,84	0,84	0,84	0,84	0,84	0,80	0,77	0,77	0,77	0,76	0,76	
20°	0,74	0,74	0,72	0,71	0,71	0,71	0,78	0,85	0,85	0,85	0,84	0,83	0,83	0,83	0,82	0,82	0,82	0,82	0,79	0,76	0,76	0,76	0,75	0,74	
15°	0,76	0,76	0,73	0,70	0,70	0,70	0,78	0,86	0,86	0,86	0,85	0,84	0,84	0,84	0,84	0,84	0,84	0,84	0,80	0,77	0,77	0,77	0,76	0,76	
10°	0,77	0,77	0,73	0,69	0,69	0,69	0,78	0,87	0,87	0,87	0,86	0,86	0,86	0,86	0,86	0,85	0,85	0,85	0,82	0,78	0,78	0,78	0,78	0,77	
5°	0,77	0,77	0,73	0,69	0,69	0,69	0,78	0,87	0,87	0,87	0,86	0,86	0,86	0,86	0,86	0,85	0,85	0,85	0,82	0,78	0,78	0,78	0,78	0,77	
0°	0,78	0,78	0,72	0,66	0,66	0,66	0,76	0,86	0,86	0,86	0,85	0,86	0,86	0,86	0,84	0,83	0,83	0,83	0,80	0,78	0,78	0,78	0,78	0,78	

ТАБЛИЦА 2 (продолжение)

с) изменчивость foF2: нижняя дециль, зима, $R_{12} > 100$

Широта	Местное время (час.)																							
	00	01	02	03	04	05	06	07	08	09	10	11	12	13	14	15	16	17	18	19	20	21	22	23
90°	0,68	0,68	0,68	0,68	0,68	0,68	0,68	0,68	0,68	0,68	0,68	0,68	0,68	0,68	0,68	0,68	0,68	0,68	0,68	0,68	0,68	0,68	0,68	0,68
85°	0,65	0,65	0,67	0,69	0,69	0,69	0,70	0,71	0,71	0,71	0,69	0,68	0,68	0,68	0,67	0,66	0,66	0,66	0,68	0,70	0,70	0,70	0,68	0,65
80°	0,62	0,62	0,66	0,70	0,70	0,70	0,72	0,74	0,74	0,74	0,70	0,67	0,67	0,67	0,66	0,64	0,64	0,64	0,68	0,73	0,73	0,73	0,68	0,62
75°	0,66	0,66	0,69	0,72	0,72	0,72	0,74	0,76	0,76	0,76	0,73	0,70	0,70	0,70	0,69	0,68	0,68	0,68	0,72	0,76	0,76	0,76	0,71	0,66
70°	0,69	0,69	0,72	0,74	0,74	0,74	0,76	0,77	0,77	0,77	0,74	0,72	0,72	0,72	0,72	0,72	0,72	0,72	0,75	0,78	0,78	0,78	0,74	0,69
65°	0,73	0,73	0,74	0,76	0,76	0,76	0,78	0,79	0,79	0,79	0,78	0,76	0,76	0,76	0,76	0,76	0,76	0,76	0,78	0,80	0,80	0,80	0,76	0,73
60°	0,77	0,77	0,78	0,78	0,78	0,78	0,80	0,81	0,81	0,81	0,80	0,80	0,80	0,80	0,80	0,79	0,79	0,79	0,80	0,82	0,82	0,82	0,80	0,77
55°	0,80	0,80	0,80	0,79	0,79	0,79	0,80	0,82	0,82	0,82	0,83	0,84	0,84	0,84	0,83	0,82	0,82	0,82	0,83	0,84	0,84	0,84	0,82	0,80
50°	0,83	0,83	0,82	0,80	0,80	0,80	0,82	0,84	0,84	0,84	0,84	0,86	0,87	0,87	0,87	0,86	0,84	0,84	0,84	0,85	0,86	0,86	0,86	0,83
45°	0,84	0,84	0,82	0,80	0,80	0,80	0,83	0,86	0,86	0,86	0,86	0,87	0,88	0,88	0,87	0,86	0,86	0,86	0,86	0,86	0,86	0,86	0,85	0,84
40°	0,86	0,86	0,84	0,81	0,81	0,81	0,84	0,87	0,87	0,87	0,88	0,90	0,90	0,90	0,88	0,87	0,87	0,87	0,87	0,87	0,87	0,87	0,86	0,86
35°	0,84	0,84	0,81	0,78	0,78	0,78	0,83	0,88	0,88	0,88	0,89	0,90	0,90	0,90	0,89	0,88	0,88	0,88	0,87	0,86	0,86	0,86	0,85	0,84
30°	0,83	0,83	0,80	0,76	0,76	0,76	0,82	0,89	0,89	0,89	0,90	0,90	0,90	0,90	0,89	0,88	0,88	0,88	0,87	0,86	0,86	0,86	0,84	0,83
25°	0,80	0,80	0,76	0,73	0,73	0,73	0,81	0,89	0,89	0,89	0,90	0,90	0,90	0,90	0,89	0,88	0,88	0,88	0,86	0,84	0,84	0,84	0,82	0,80
20°	0,78	0,78	0,74	0,70	0,70	0,70	0,80	0,89	0,89	0,89	0,89	0,89	0,89	0,89	0,89	0,89	0,89	0,89	0,86	0,83	0,83	0,83	0,80	0,78
15°	0,80	0,80	0,76	0,73	0,73	0,73	0,81	0,89	0,89	0,89	0,90	0,90	0,90	0,90	0,90	0,89	0,89	0,89	0,86	0,84	0,84	0,84	0,82	0,80
10°	0,83	0,83	0,80	0,76	0,76	0,76	0,82	0,89	0,89	0,89	0,90	0,90	0,90	0,90	0,90	0,89	0,89	0,89	0,86	0,84	0,84	0,84	0,84	0,83
5°	0,83	0,83	0,80	0,76	0,76	0,76	0,82	0,89	0,89	0,89	0,90	0,90	0,90	0,90	0,90	0,89	0,89	0,89	0,86	0,84	0,84	0,84	0,84	0,83
0°	0,82	0,82	0,80	0,78	0,78	0,78	0,82	0,88	0,88	0,88	0,89	0,90	0,90	0,90	0,88	0,87	0,87	0,87	0,84	0,81	0,81	0,81	0,82	0,82

ТАБЛИЦА 2 (продолжение)

d) изменчивость foF2: нижняя дециль, равенствие, $R_{12} < 50$

Широта	Местное время (час.)																							
	00	01	02	03	04	05	06	07	08	09	10	11	12	13	14	15	16	17	18	19	20	21	22	23
90°	0,69	0,69	0,69	0,69	0,69	0,69	0,69	0,69	0,69	0,69	0,69	0,69	0,69	0,69	0,69	0,69	0,69	0,69	0,69	0,69	0,69	0,69	0,69	0,69
85°	0,68	0,68	0,70	0,70	0,70	0,70	0,71	0,72	0,72	0,72	0,72	0,71	0,71	0,71	0,72	0,74	0,74	0,74	0,70	0,67	0,67	0,67	0,68	0,68
80°	0,67	0,67	0,70	0,72	0,72	0,72	0,73	0,74	0,74	0,74	0,74	0,73	0,73	0,73	0,76	0,80	0,80	0,80	0,72	0,65	0,65	0,65	0,66	0,67
75°	0,68	0,68	0,71	0,74	0,74	0,74	0,74	0,75	0,75	0,75	0,74	0,74	0,74	0,74	0,78	0,81	0,81	0,81	0,74	0,67	0,67	0,67	0,68	0,68
70°	0,70	0,70	0,72	0,75	0,75	0,75	0,76	0,76	0,76	0,76	0,75	0,74	0,74	0,74	0,78	0,82	0,82	0,82	0,76	0,69	0,69	0,69	0,70	0,70
65°	0,72	0,72	0,74	0,76	0,76	0,76	0,77	0,78	0,78	0,78	0,76	0,74	0,74	0,74	0,78	0,82	0,82	0,82	0,76	0,71	0,71	0,71	0,72	0,72
60°	0,73	0,73	0,76	0,78	0,78	0,78	0,79	0,80	0,80	0,80	0,78	0,75	0,75	0,75	0,78	0,81	0,81	0,81	0,77	0,73	0,73	0,73	0,73	0,73
55°	0,74	0,74	0,76	0,79	0,79	0,79	0,80	0,80	0,80	0,80	0,78	0,76	0,76	0,76	0,78	0,81	0,81	0,81	0,78	0,74	0,74	0,74	0,74	0,74
50°	0,75	0,75	0,78	0,80	0,80	0,80	0,80	0,81	0,81	0,81	0,78	0,76	0,76	0,76	0,78	0,81	0,81	0,81	0,78	0,76	0,76	0,76	0,76	0,75
45°	0,76	0,76	0,78	0,80	0,80	0,80	0,80	0,81	0,81	0,81	0,78	0,76	0,76	0,76	0,78	0,80	0,80	0,80	0,78	0,77	0,77	0,77	0,76	0,76
40°	0,77	0,77	0,79	0,81	0,81	0,81	0,81	0,81	0,81	0,81	0,79	0,77	0,77	0,77	0,78	0,80	0,80	0,80	0,79	0,78	0,78	0,78	0,78	0,77
35°	0,78	0,78	0,79	0,80	0,80	0,80	0,81	0,82	0,82	0,82	0,80	0,78	0,78	0,78	0,79	0,80	0,80	0,80	0,78	0,76	0,76	0,76	0,77	0,78
30°	0,78	0,78	0,79	0,80	0,80	0,80	0,81	0,82	0,82	0,82	0,80	0,78	0,78	0,78	0,80	0,81	0,81	0,81	0,78	0,74	0,74	0,74	0,76	0,78
25°	0,78	0,78	0,78	0,78	0,78	0,78	0,80	0,82	0,82	0,82	0,81	0,80	0,80	0,80	0,81	0,82	0,82	0,82	0,77	0,72	0,72	0,72	0,75	0,78
20°	0,77	0,77	0,76	0,75	0,75	0,75	0,79	0,83	0,83	0,83	0,82	0,81	0,81	0,81	0,82	0,83	0,83	0,83	0,76	0,69	0,69	0,69	0,73	0,77
15°	0,76	0,76	0,73	0,70	0,70	0,70	0,77	0,84	0,84	0,84	0,84	0,85	0,85	0,85	0,84	0,84	0,84	0,84	0,78	0,72	0,72	0,72	0,74	0,76
10°	0,76	0,76	0,71	0,66	0,66	0,66	0,76	0,86	0,86	0,86	0,88	0,89	0,89	0,89	0,86	0,86	0,86	0,86	0,80	0,75	0,75	0,75	0,76	0,76
5°	0,76	0,76	0,71	0,66	0,66	0,66	0,76	0,86	0,86	0,86	0,88	0,89	0,89	0,89	0,86	0,86	0,86	0,86	0,80	0,75	0,75	0,75	0,76	0,76
0°	0,76	0,76	0,71	0,66	0,66	0,66	0,76	0,86	0,86	0,86	0,88	0,89	0,89	0,89	0,86	0,86	0,86	0,86	0,80	0,75	0,75	0,75	0,76	0,76

ТАБЛИЦА 2 (продолжение)

е) изменчивость foF2: нижняя дециль, равенство, $50 \leq R_{12} \leq 100$

Широта	Местное время (час.)																							
	00	01	02	03	04	05	06	07	08	09	10	11	12	13	14	15	16	17	18	19	20	21	22	23
90°	0,69	0,69	0,69	0,69	0,69	0,69	0,69	0,69	0,69	0,69	0,69	0,69	0,69	0,69	0,69	0,69	0,69	0,69	0,69	0,69	0,69	0,69	0,69	0,69
85°	0,66	0,66	0,64	0,65	0,65	0,65	0,68	0,71	0,71	0,71	0,72	0,72	0,72	0,72	0,72	0,72	0,72	0,72	0,70	0,68	0,68	0,68	0,68	0,66
80°	0,64	0,64	0,62	0,61	0,61	0,61	0,67	0,73	0,73	0,73	0,74	0,74	0,74	0,74	0,74	0,74	0,74	0,74	0,70	0,67	0,67	0,67	0,66	0,64
75°	0,66	0,66	0,66	0,66	0,66	0,66	0,70	0,75	0,75	0,75	0,74	0,74	0,74	0,74	0,75	0,76	0,76	0,76	0,72	0,68	0,68	0,68	0,67	0,66
70°	0,68	0,68	0,70	0,71	0,71	0,71	0,74	0,77	0,77	0,77	0,76	0,74	0,74	0,74	0,76	0,78	0,78	0,78	0,74	0,70	0,70	0,70	0,69	0,68
65°	0,69	0,69	0,71	0,73	0,73	0,73	0,76	0,78	0,78	0,78	0,76	0,73	0,73	0,73	0,76	0,78	0,78	0,78	0,75	0,72	0,72	0,72	0,70	0,69
60°	0,70	0,70	0,72	0,75	0,75	0,75	0,78	0,80	0,80	0,80	0,76	0,72	0,72	0,72	0,75	0,78	0,78	0,78	0,76	0,73	0,73	0,73	0,72	0,70
55°	0,72	0,72	0,74	0,76	0,76	0,76	0,78	0,80	0,80	0,80	0,77	0,73	0,73	0,73	0,75	0,77	0,77	0,77	0,76	0,74	0,74	0,74	0,73	0,72
50°	0,73	0,73	0,75	0,77	0,77	0,77	0,79	0,81	0,81	0,81	0,78	0,74	0,74	0,74	0,75	0,76	0,76	0,76	0,76	0,75	0,75	0,75	0,74	0,73
45°	0,74	0,74	0,76	0,78	0,78	0,78	0,80	0,82	0,82	0,82	0,79	0,76	0,76	0,76	0,76	0,76	0,76	0,76	0,76	0,76	0,76	0,76	0,75	0,74
40°	0,75	0,75	0,76	0,78	0,78	0,78	0,80	0,82	0,82	0,82	0,80	0,78	0,78	0,78	0,77	0,76	0,76	0,76	0,76	0,76	0,76	0,76	0,76	0,75
35°	0,76	0,76	0,76	0,77	0,77	0,77	0,80	0,82	0,82	0,82	0,81	0,80	0,80	0,80	0,78	0,77	0,77	0,77	0,76	0,74	0,74	0,74	0,75	0,76
30°	0,77	0,77	0,76	0,76	0,76	0,76	0,79	0,82	0,82	0,82	0,82	0,83	0,83	0,83	0,80	0,78	0,78	0,78	0,75	0,72	0,72	0,72	0,74	0,77
25°	0,76	0,76	0,75	0,74	0,74	0,74	0,79	0,83	0,83	0,83	0,84	0,85	0,85	0,85	0,82	0,80	0,80	0,80	0,75	0,70	0,70	0,70	0,73	0,76
20°	0,75	0,75	0,74	0,73	0,73	0,73	0,78	0,84	0,84	0,84	0,86	0,87	0,87	0,87	0,84	0,81	0,81	0,81	0,76	0,69	0,69	0,69	0,72	0,75
15°	0,77	0,77	0,74	0,70	0,70	0,70	0,78	0,85	0,85	0,85	0,86	0,88	0,88	0,88	0,85	0,82	0,82	0,82	0,78	0,74	0,74	0,74	0,76	0,77
10°	0,79	0,79	0,74	0,68	0,68	0,68	0,77	0,86	0,86	0,86	0,88	0,89	0,89	0,89	0,86	0,84	0,84	0,84	0,82	0,80	0,80	0,80	0,80	0,79
5°	0,79	0,79	0,74	0,68	0,68	0,68	0,77	0,86	0,86	0,86	0,88	0,89	0,89	0,89	0,86	0,84	0,84	0,84	0,82	0,80	0,80	0,80	0,80	0,79
0°	0,79	0,79	0,74	0,68	0,68	0,68	0,77	0,86	0,86	0,86	0,88	0,89	0,89	0,89	0,86	0,84	0,84	0,84	0,82	0,80	0,80	0,80	0,80	0,79

ТАБЛИЦА 2 (продолжение)

f) изменчивость foF2: нижняя дециль, равенство, $R_{12} > 100$

Широта	Местное время (час.)																								
	00	01	02	03	04	05	06	07	08	09	10	11	12	13	14	15	16	17	18	19	20	21	22	23	
90°	0,69	0,69	0,69	0,69	0,69	0,69	0,69	0,69	0,69	0,69	0,69	0,69	0,69	0,69	0,69	0,69	0,69	0,69	0,69	0,69	0,69	0,69	0,69	0,69	
85°	0,68	0,68	0,68	0,68	0,68	0,68	0,70	0,72	0,72	0,72	0,70	0,68	0,68	0,68	0,68	0,70	0,70	0,70	0,70	0,70	0,70	0,70	0,69	0,68	
80°	0,66	0,66	0,66	0,67	0,67	0,67	0,71	0,75	0,75	0,75	0,70	0,66	0,66	0,66	0,68	0,70	0,70	0,70	0,71	0,72	0,72	0,72	0,69	0,66	
75°	0,66	0,66	0,68	0,69	0,69	0,69	0,72	0,74	0,74	0,74	0,71	0,68	0,68	0,68	0,69	0,70	0,70	0,70	0,71	0,72	0,72	0,72	0,69	0,66	
70°	0,67	0,67	0,69	0,71	0,71	0,71	0,72	0,73	0,73	0,73	0,72	0,70	0,70	0,70	0,70	0,70	0,70	0,70	0,71	0,72	0,72	0,72	0,70	0,67	
65°	0,68	0,68	0,70	0,73	0,73	0,73	0,72	0,72	0,72	0,72	0,71	0,70	0,70	0,70	0,70	0,70	0,70	0,70	0,71	0,72	0,72	0,72	0,70	0,68	
60°	0,69	0,69	0,72	0,75	0,75	0,75	0,73	0,71	0,71	0,71	0,71	0,71	0,71	0,71	0,71	0,71	0,71	0,71	0,72	0,72	0,72	0,72	0,70	0,69	
55°	0,70	0,70	0,73	0,76	0,76	0,76	0,73	0,70	0,70	0,70	0,71	0,72	0,72	0,72	0,72	0,72	0,72	0,72	0,72	0,72	0,72	0,72	0,71	0,70	
50°	0,71	0,71	0,74	0,78	0,78	0,78	0,74	0,70	0,70	0,70	0,72	0,72	0,72	0,72	0,74	0,74	0,74	0,74	0,74	0,74	0,73	0,73	0,73	0,72	0,71
45°	0,75	0,75	0,78	0,80	0,80	0,80	0,76	0,72	0,72	0,72	0,74	0,75	0,75	0,75	0,76	0,77	0,77	0,77	0,78	0,78	0,78	0,78	0,77	0,75	
40°	0,79	0,79	0,80	0,82	0,82	0,82	0,78	0,75	0,75	0,75	0,76	0,78	0,78	0,78	0,79	0,80	0,80	0,80	0,82	0,84	0,84	0,84	0,82	0,79	
35°	0,80	0,80	0,81	0,82	0,82	0,82	0,82	0,81	0,81	0,81	0,82	0,82	0,82	0,82	0,83	0,84	0,84	0,84	0,84	0,85	0,85	0,85	0,82	0,80	
30°	0,81	0,81	0,81	0,82	0,82	0,82	0,84	0,87	0,87	0,87	0,87	0,87	0,87	0,87	0,87	0,87	0,87	0,87	0,86	0,86	0,86	0,86	0,84	0,81	
25°	0,81	0,81	0,80	0,80	0,80	0,80	0,84	0,88	0,88	0,88	0,89	0,90	0,90	0,90	0,89	0,88	0,88	0,88	0,87	0,86	0,86	0,86	0,83	0,81	
20°	0,81	0,81	0,79	0,77	0,77	0,77	0,83	0,89	0,89	0,89	0,90	0,92	0,92	0,92	0,91	0,90	0,90	0,90	0,88	0,85	0,85	0,85	0,83	0,81	
15°	0,80	0,80	0,79	0,78	0,78	0,78	0,73	0,88	0,88	0,88	0,89	0,91	0,91	0,91	0,90	0,90	0,90	0,90	0,87	0,84	0,84	0,84	0,82	0,80	
10°	0,80	0,80	0,80	0,79	0,79	0,79	0,82	0,86	0,86	0,86	0,88	0,90	0,90	0,90	0,90	0,90	0,90	0,90	0,86	0,82	0,82	0,82	0,81	0,80	
5°	0,80	0,80	0,80	0,79	0,79	0,79	0,82	0,86	0,86	0,86	0,88	0,90	0,90	0,90	0,90	0,90	0,90	0,90	0,86	0,82	0,82	0,82	0,81	0,80	
0°	0,80	0,80	0,80	0,79	0,79	0,79	0,82	0,86	0,86	0,86	0,88	0,90	0,90	0,90	0,90	0,90	0,90	0,90	0,86	0,82	0,82	0,82	0,81	0,80	

ТАБЛИЦА 2 (продолжение)

г) изменчивость foF2: нижняя дециль, лето, $R_{12} < 50$

Широта	Местное время (час.)																							
	00	01	02	03	04	05	06	07	08	09	10	11	12	13	14	15	16	17	18	19	20	21	22	23
90°	0,80	0,80	0,80	0,80	0,80	0,80	0,80	0,80	0,80	0,80	0,80	0,80	0,80	0,80	0,80	0,80	0,80	0,80	0,80	0,80	0,80	0,80	0,80	0,80
85°	0,74	0,74	0,77	0,80	0,80	0,80	0,81	0,82	0,82	0,82	0,83	0,84	0,84	0,84	0,83	0,82	0,82	0,82	0,80	0,78	0,78	0,78	0,76	0,74
80°	0,68	0,68	0,74	0,79	0,79	0,79	0,82	0,84	0,84	0,84	0,86	0,87	0,87	0,87	0,86	0,85	0,85	0,85	0,80	0,76	0,76	0,76	0,72	0,68
75°	0,69	0,69	0,74	0,80	0,80	0,80	0,82	0,84	0,84	0,84	0,85	0,86	0,86	0,86	0,86	0,86	0,86	0,86	0,81	0,76	0,76	0,76	0,73	0,69
70°	0,70	0,70	0,76	0,81	0,81	0,81	0,82	0,83	0,83	0,83	0,84	0,86	0,86	0,86	0,86	0,86	0,86	0,86	0,82	0,77	0,77	0,77	0,74	0,70
65°	0,71	0,71	0,76	0,82	0,82	0,82	0,83	0,83	0,83	0,83	0,84	0,85	0,85	0,85	0,86	0,86	0,86	0,86	0,82	0,79	0,79	0,79	0,75	0,71
60°	0,72	0,72	0,78	0,84	0,84	0,84	0,84	0,83	0,83	0,83	0,84	0,84	0,84	0,84	0,85	0,86	0,86	0,86	0,84	0,81	0,81	0,81	0,76	0,72
55°	0,74	0,74	0,79	0,84	0,84	0,84	0,83	0,82	0,82	0,82	0,83	0,84	0,84	0,84	0,85	0,86	0,86	0,86	0,84	0,82	0,82	0,82	0,78	0,74
50°	0,75	0,75	0,80	0,85	0,85	0,85	0,84	0,82	0,82	0,82	0,82	0,83	0,83	0,83	0,84	0,85	0,85	0,85	0,84	0,84	0,84	0,84	0,80	0,75
45°	0,77	0,77	0,80	0,85	0,85	0,85	0,83	0,81	0,81	0,81	0,82	0,82	0,82	0,82	0,83	0,84	0,84	0,84	0,84	0,84	0,84	0,84	0,80	0,77
40°	0,79	0,79	0,82	0,85	0,85	0,85	0,82	0,80	0,80	0,80	0,81	0,82	0,82	0,82	0,82	0,83	0,83	0,83	0,84	0,85	0,85	0,85	0,82	0,79
35°	0,79	0,79	0,81	0,84	0,84	0,84	0,81	0,79	0,79	0,79	0,80	0,81	0,81	0,81	0,81	0,82	0,82	0,82	0,82	0,82	0,82	0,82	0,81	0,79
30°	0,79	0,79	0,80	0,82	0,82	0,82	0,80	0,78	0,78	0,78	0,79	0,80	0,80	0,80	0,80	0,81	0,81	0,81	0,80	0,80	0,80	0,80	0,80	0,79
25°	0,78	0,78	0,79	0,80	0,80	0,80	0,79	0,78	0,78	0,78	0,78	0,80	0,80	0,80	0,80	0,80	0,80	0,80	0,78	0,76	0,76	0,76	0,77	0,78
20°	0,77	0,77	0,78	0,78	0,78	0,78	0,78	0,77	0,77	0,77	0,78	0,79	0,79	0,79	0,79	0,79	0,79	0,79	0,76	0,73	0,73	0,73	0,75	0,77
15°	0,76	0,76	0,76	0,76	0,76	0,76	0,78	0,78	0,78	0,78	0,80	0,81	0,81	0,81	0,81	0,80	0,80	0,80	0,76	0,71	0,71	0,71	0,73	0,76
10°	0,74	0,74	0,74	0,75	0,75	0,75	0,78	0,80	0,80	0,80	0,82	0,83	0,83	0,83	0,82	0,82	0,82	0,82	0,76	0,69	0,69	0,69	0,72	0,74
5°	0,74	0,74	0,74	0,75	0,75	0,75	0,78	0,80	0,80	0,80	0,82	0,83	0,83	0,83	0,82	0,82	0,82	0,82	0,76	0,69	0,69	0,69	0,72	0,74
0°	0,72	0,72	0,72	0,72	0,72	0,72	0,78	0,84	0,84	0,84	0,84	0,84	0,84	0,84	0,84	0,84	0,84	0,84	0,80	0,74	0,74	0,74	0,74	0,72

ТАБЛИЦА 2 (продолжение)

h) изменчивость foF2: нижняя дециль, лето, $50 \leq R_{12} \leq 100$

Широта	Местное время (час.)																								
	00	01	02	03	04	05	06	07	08	09	10	11	12	13	14	15	16	17	18	19	20	21	22	23	
90°	0,81	0,81	0,81	0,81	0,81	0,81	0,81	0,81	0,81	0,81	0,81	0,81	0,81	0,81	0,81	0,81	0,81	0,81	0,81	0,81	0,81	0,81	0,81	0,81	
85°	0,82	0,82	0,81	0,80	0,80	0,80	0,81	0,82	0,82	0,82	0,82	0,83	0,83	0,83	0,82	0,80	0,80	0,80	0,80	0,80	0,80	0,80	0,80	0,82	
80°	0,82	0,82	0,81	0,80	0,80	0,80	0,81	0,82	0,82	0,82	0,84	0,85	0,85	0,85	0,82	0,80	0,80	0,80	0,80	0,79	0,79	0,79	0,80	0,82	
75°	0,82	0,82	0,82	0,81	0,81	0,81	0,81	0,80	0,80	0,80	0,82	0,84	0,84	0,84	0,82	0,81	0,81	0,81	0,81	0,80	0,80	0,80	0,81	0,82	
70°	0,83	0,83	0,82	0,82	0,82	0,82	0,80	0,79	0,79	0,79	0,80	0,82	0,82	0,82	0,82	0,82	0,82	0,82	0,82	0,82	0,82	0,82	0,82	0,83	
65°	0,83	0,83	0,82	0,82	0,82	0,82	0,80	0,78	0,78	0,78	0,79	0,80	0,80	0,80	0,81	0,82	0,82	0,82	0,82	0,82	0,82	0,82	0,83	0,83	
60°	0,83	0,83	0,82	0,82	0,82	0,82	0,80	0,77	0,77	0,77	0,78	0,79	0,79	0,79	0,80	0,82	0,82	0,82	0,82	0,83	0,83	0,83	0,83	0,83	
55°	0,82	0,82	0,82	0,82	0,82	0,82	0,79	0,76	0,76	0,76	0,77	0,78	0,78	0,78	0,80	0,82	0,82	0,82	0,82	0,82	0,82	0,82	0,82	0,82	
50°	0,81	0,81	0,81	0,81	0,81	0,81	0,78	0,76	0,76	0,76	0,76	0,77	0,77	0,77	0,79	0,81	0,81	0,81	0,82	0,82	0,82	0,82	0,82	0,81	
45°	0,80	0,80	0,80	0,80	0,80	0,80	0,78	0,76	0,76	0,76	0,76	0,78	0,78	0,78	0,78	0,80	0,80	0,80	0,80	0,80	0,80	0,80	0,80	0,80	
40°	0,78	0,78	0,78	0,78	0,78	0,78	0,76	0,75	0,75	0,75	0,76	0,78	0,78	0,78	0,78	0,78	0,78	0,78	0,78	0,78	0,78	0,78	0,78	0,78	
35°	0,78	0,78	0,79	0,80	0,80	0,80	0,78	0,75	0,75	0,75	0,76	0,78	0,78	0,78	0,78	0,78	0,78	0,78	0,77	0,76	0,76	0,76	0,77	0,78	
30°	0,77	0,77	0,80	0,83	0,83	0,83	0,79	0,75	0,75	0,75	0,77	0,79	0,79	0,79	0,78	0,77	0,77	0,77	0,76	0,74	0,74	0,74	0,76	0,77	
25°	0,77	0,77	0,76	0,76	0,76	0,76	0,76	0,76	0,76	0,76	0,79	0,80	0,80	0,80	0,79	0,78	0,78	0,78	0,76	0,74	0,74	0,74	0,75	0,77	
20°	0,77	0,77	0,73	0,69	0,69	0,69	0,74	0,78	0,78	0,78	0,80	0,82	0,82	0,82	0,80	0,78	0,78	0,78	0,76	0,73	0,73	0,73	0,75	0,77	
15°	0,78	0,78	0,72	0,66	0,66	0,66	0,74	0,81	0,81	0,81	0,82	0,84	0,84	0,84	0,82	0,80	0,80	0,80	0,77	0,75	0,75	0,75	0,76	0,78	
10°	0,79	0,79	0,71	0,63	0,63	0,63	0,74	0,84	0,84	0,84	0,84	0,84	0,85	0,85	0,85	0,83	0,81	0,81	0,81	0,79	0,77	0,77	0,77	0,78	0,79
5°	0,79	0,79	0,71	0,63	0,63	0,63	0,74	0,84	0,84	0,84	0,84	0,84	0,85	0,85	0,85	0,83	0,81	0,81	0,81	0,79	0,77	0,77	0,77	0,78	0,79
0°	0,78	0,78	0,72	0,66	0,66	0,66	0,76	0,86	0,86	0,86	0,85	0,86	0,86	0,86	0,84	0,83	0,83	0,83	0,80	0,78	0,78	0,78	0,78	0,78	

ТАБЛИЦА 2 (окончание)

і) изменчивость foF2: нижняя дециль, лето, $R_{12} > 100$

Широта	Местное время (час.)																							
	00	01	02	03	04	05	06	07	08	09	10	11	12	13	14	15	16	17	18	19	20	21	22	23
90°	0,78	0,78	0,78	0,78	0,78	0,78	0,78	0,78	0,78	0,78	0,78	0,78	0,78	0,78	0,78	0,78	0,78	0,78	0,78	0,78	0,78	0,78	0,78	0,78
85°	0,76	0,76	0,76	0,76	0,76	0,76	0,78	0,80	0,80	0,80	0,80	0,80	0,80	0,80	0,80	0,78	0,78	0,78	0,78	0,76	0,76	0,76	0,76	0,76
80°	0,73	0,73	0,74	0,74	0,74	0,74	0,78	0,82	0,82	0,82	0,82	0,83	0,83	0,83	0,81	0,79	0,79	0,79	0,77	0,75	0,75	0,75	0,74	0,73
75°	0,74	0,74	0,74	0,74	0,74	0,74	0,77	0,80	0,80	0,80	0,80	0,82	0,82	0,82	0,81	0,80	0,80	0,80	0,78	0,76	0,76	0,76	0,75	0,74
70°	0,75	0,75	0,75	0,75	0,75	0,75	0,76	0,77	0,77	0,77	0,78	0,80	0,80	0,80	0,81	0,80	0,80	0,80	0,78	0,77	0,77	0,77	0,76	0,75
65°	0,76	0,76	0,76	0,76	0,76	0,76	0,76	0,76	0,76	0,76	0,77	0,78	0,78	0,78	0,79	0,80	0,80	0,80	0,79	0,78	0,78	0,78	0,77	0,76
60°	0,77	0,77	0,76	0,76	0,76	0,76	0,75	0,74	0,74	0,74	0,76	0,77	0,77	0,77	0,78	0,80	0,80	0,80	0,80	0,80	0,80	0,80	0,78	0,77
55°	0,78	0,78	0,77	0,76	0,76	0,76	0,75	0,74	0,74	0,74	0,75	0,76	0,76	0,76	0,78	0,80	0,80	0,80	0,81	0,82	0,82	0,82	0,80	0,78
50°	0,79	0,79	0,78	0,76	0,76	0,76	0,74	0,73	0,73	0,73	0,74	0,75	0,75	0,75	0,78	0,80	0,80	0,80	0,82	0,84	0,84	0,84	0,82	0,79
45°	0,80	0,80	0,78	0,76	0,76	0,76	0,75	0,74	0,74	0,74	0,74	0,75	0,75	0,75	0,77	0,80	0,80	0,80	0,82	0,84	0,84	0,84	0,82	0,80
40°	0,80	0,80	0,78	0,76	0,76	0,76	0,76	0,75	0,75	0,75	0,75	0,75	0,75	0,75	0,77	0,79	0,79	0,79	0,82	0,84	0,84	0,84	0,82	0,80
35°	0,80	0,80	0,78	0,76	0,76	0,76	0,77	0,78	0,78	0,78	0,78	0,78	0,78	0,78	0,78	0,79	0,79	0,79	0,80	0,84	0,84	0,84	0,82	0,80
30°	0,81	0,81	0,78	0,76	0,76	0,76	0,78	0,82	0,82	0,82	0,82	0,81	0,81	0,81	0,80	0,79	0,79	0,79	0,81	0,83	0,83	0,83	0,82	0,81
25°	0,81	0,81	0,78	0,76	0,76	0,76	0,80	0,84	0,84	0,84	0,84	0,84	0,84	0,84	0,82	0,80	0,80	0,80	0,81	0,82	0,82	0,82	0,81	0,81
20°	0,81	0,81	0,79	0,77	0,77	0,77	0,81	0,85	0,85	0,85	0,86	0,86	0,86	0,86	0,84	0,81	0,81	0,81	0,80	0,80	0,80	0,80	0,80	0,81
15°	0,80	0,80	0,79	0,78	0,78	0,78	0,82	0,86	0,86	0,86	0,87	0,88	0,88	0,88	0,85	0,83	0,83	0,83	0,81	0,79	0,79	0,79	0,80	0,80
10°	0,80	0,80	0,80	0,79	0,79	0,79	0,82	0,86	0,86	0,86	0,88	0,89	0,89	0,89	0,87	0,85	0,85	0,85	0,82	0,78	0,78	0,78	0,79	0,80
5°	0,80	0,80	0,80	0,79	0,79	0,79	0,82	0,86	0,86	0,86	0,88	0,89	0,89	0,89	0,87	0,85	0,85	0,85	0,82	0,78	0,78	0,78	0,79	0,80
0°	0,82	0,82	0,80	0,78	0,78	0,78	0,82	0,88	0,88	0,88	0,89	0,90	0,90	0,90	0,88	0,87	0,87	0,87	0,84	0,81	0,81	0,81	0,82	0,82

ТАБЛИЦА 3 (продолжение)

с) изменчивость foF2: верхняя дециль, зима, $R_{12} > 100$

Широта	Местное время (час.)																							
	00	01	02	03	04	05	06	07	08	09	10	11	12	13	14	15	16	17	18	19	20	21	22	23
90°	1,38	1,38	1,38	1,38	1,38	1,38	1,38	1,38	1,38	1,38	1,38	1,38	1,38	1,38	1,38	1,38	1,38	1,38	1,38	1,38	1,38	1,38	1,38	1,38
85°	1,37	1,37	1,35	1,32	1,32	1,32	1,36	1,40	1,40	1,40	1,40	1,40	1,40	1,40	1,40	1,39	1,39	1,39	1,40	1,40	1,40	1,40	1,39	1,37
80°	1,36	1,36	1,32	1,27	1,27	1,27	1,34	1,41	1,41	1,41	1,42	1,42	1,42	1,42	1,41	1,40	1,40	1,40	1,42	1,43	1,43	1,43	1,40	1,36
75°	1,34	1,34	1,30	1,26	1,26	1,26	1,32	1,38	1,38	1,38	1,37	1,36	1,36	1,36	1,32	1,28	1,28	1,28	1,33	1,38	1,38	1,38	1,36	1,34
70°	1,31	1,31	1,28	1,25	1,25	1,25	1,30	1,34	1,34	1,34	1,32	1,30	1,30	1,30	1,23	1,16	1,16	1,16	1,25	1,34	1,34	1,34	1,32	1,31
65°	1,28	1,28	1,26	1,24	1,24	1,24	1,27	1,29	1,29	1,29	1,26	1,24	1,24	1,24	1,19	1,14	1,14	1,14	1,22	1,30	1,30	1,30	1,29	1,28
60°	1,26	1,26	1,24	1,23	1,23	1,23	1,24	1,24	1,24	1,24	1,21	1,18	1,18	1,18	1,14	1,11	1,11	1,11	1,18	1,26	1,26	1,26	1,26	1,26
55°	1,22	1,22	1,22	1,21	1,21	1,21	1,21	1,20	1,20	1,20	1,17	1,14	1,14	1,14	1,12	1,10	1,10	1,10	1,16	1,23	1,23	1,23	1,23	1,22
50°	1,19	1,19	1,19	1,19	1,19	1,19	1,18	1,16	1,16	1,16	1,14	1,11	1,11	1,11	1,10	1,09	1,09	1,09	1,14	1,20	1,20	1,20	1,20	1,19
45°	1,17	1,17	1,16	1,16	1,16	1,16	1,15	1,14	1,14	1,14	1,12	1,10	1,10	1,10	1,10	1,09	1,09	1,09	1,13	1,17	1,17	1,17	1,17	1,17
40°	1,15	1,15	1,14	1,14	1,14	1,14	1,14	1,13	1,13	1,13	1,11	1,09	1,09	1,09	1,09	1,09	1,09	1,09	1,12	1,14	1,14	1,14	1,14	1,15
35°	1,18	1,18	1,19	1,20	1,20	1,20	1,16	1,12	1,12	1,12	1,11	1,09	1,09	1,09	1,10	1,10	1,10	1,10	1,12	1,14	1,14	1,14	1,16	1,18
30°	1,22	1,22	1,24	1,26	1,26	1,26	1,19	1,12	1,12	1,12	1,10	1,09	1,09	1,09	1,10	1,11	1,11	1,11	1,12	1,13	1,13	1,13	1,18	1,22
25°	1,27	1,27	1,29	1,30	1,30	1,30	1,21	1,12	1,12	1,12	1,11	1,10	1,10	1,10	1,11	1,12	1,12	1,12	1,14	1,16	1,16	1,16	1,22	1,27
20°	1,32	1,32	1,34	1,35	1,35	1,35	1,24	1,12	1,12	1,12	1,12	1,12	1,12	1,12	1,13	1,14	1,14	1,14	1,17	1,20	1,20	1,20	1,26	1,32
15°	1,25	1,25	1,28	1,30	1,30	1,30	1,22	1,13	1,13	1,13	1,13	1,12	1,12	1,12	1,13	1,14	1,14	1,14	1,17	1,20	1,20	1,20	1,22	1,25
10°	1,18	1,18	1,22	1,25	1,25	1,25	1,20	1,14	1,14	1,14	1,14	1,13	1,13	1,13	1,14	1,15	1,15	1,15	1,18	1,20	1,20	1,20	1,19	1,18
5°	1,18	1,18	1,22	1,25	1,25	1,25	1,20	1,14	1,14	1,14	1,14	1,13	1,13	1,13	1,14	1,15	1,15	1,15	1,18	1,20	1,20	1,20	1,19	1,18
0°	1,20	1,22	1,22	1,23	1,23	1,23	1,18	1,14	1,14	1,14	1,14	1,14	1,15	1,15	1,15	1,17	1,18	1,18	1,20	1,22	1,22	1,22	1,22	1,22

ТАБЛИЦА 3 (продолжение)

d) изменчивость foF2: верхняя дециль, равенствие, $R_{12} < 50$

Широта	Местное время (час.)																							
	00	01	02	03	04	05	06	07	08	09	10	11	12	13	14	15	16	17	18	19	20	21	22	23
90°	1,35	1,35	1,35	1,35	1,35	1,35	1,35	1,35	1,35	1,35	1,35	1,35	1,35	1,35	1,35	1,35	1,35	1,35	1,35	1,35	1,35	1,35	1,35	1,35
85°	1,38	1,38	1,36	1,34	1,34	1,34	1,32	1,32	1,32	1,32	1,32	1,30	1,30	1,30	1,32	1,34	1,34	1,34	1,38	1,42	1,42	1,42	1,40	1,38
80°	1,42	1,42	1,37	1,32	1,32	1,32	1,30	1,29	1,29	1,29	1,28	1,26	1,26	1,26	1,30	1,33	1,33	1,33	1,40	1,48	1,48	1,48	1,45	1,42
75°	1,40	1,40	1,34	1,28	1,28	1,28	1,28	1,27	1,27	1,27	1,26	1,24	1,24	1,24	1,27	1,30	1,30	1,30	1,36	1,44	1,44	1,44	1,42	1,40
70°	1,38	1,38	1,32	1,25	1,25	1,25	1,25	1,25	1,25	1,25	1,24	1,23	1,23	1,23	1,24	1,26	1,26	1,26	1,33	1,40	1,40	1,40	1,39	1,38
65°	1,35	1,35	1,29	1,23	1,23	1,23	1,24	1,24	1,24	1,24	1,23	1,22	1,22	1,22	1,22	1,23	1,23	1,23	1,30	1,36	1,36	1,36	1,36	1,35
60°	1,32	1,32	1,26	1,21	1,21	1,21	1,22	1,22	1,22	1,22	1,21	1,20	1,20	1,20	1,20	1,20	1,20	1,20	1,26	1,31	1,31	1,31	1,32	1,32
55°	1,29	1,29	1,24	1,20	1,20	1,20	1,21	1,21	1,21	1,21	1,20	1,19	1,19	1,19	1,18	1,18	1,18	1,18	1,23	1,28	1,28	1,28	1,29	1,29
50°	1,26	1,26	1,22	1,19	1,19	1,19	1,20	1,20	1,20	1,20	1,19	1,18	1,18	1,18	1,17	1,16	1,16	1,16	1,21	1,26	1,26	1,26	1,26	1,26
45°	1,24	1,24	1,22	1,20	1,20	1,20	1,20	1,20	1,20	1,20	1,18	1,17	1,17	1,17	1,16	1,16	1,16	1,16	1,21	1,26	1,26	1,26	1,25	1,24
40°	1,22	1,22	1,21	1,20	1,20	1,20	1,20	1,19	1,19	1,19	1,18	1,16	1,16	1,16	1,16	1,16	1,16	1,16	1,20	1,25	1,25	1,25	1,24	1,22
35°	1,22	1,22	1,22	1,23	1,23	1,23	1,21	1,18	1,18	1,18	1,17	1,16	1,16	1,16	1,16	1,16	1,16	1,16	1,21	1,26	1,26	1,26	1,24	1,22
30°	1,22	1,22	1,24	1,26	1,26	1,26	1,22	1,18	1,18	1,18	1,16	1,15	1,15	1,15	1,16	1,16	1,16	1,16	1,22	1,28	1,28	1,28	1,26	1,22
25°	1,26	1,26	1,28	1,29	1,29	1,29	1,23	1,17	1,17	1,17	1,16	1,14	1,14	1,14	1,16	1,17	1,17	1,17	1,24	1,30	1,30	1,30	1,28	1,26
20°	1,30	1,30	1,31	1,32	1,32	1,32	1,24	1,16	1,16	1,16	1,15	1,14	1,14	1,14	1,16	1,18	1,18	1,18	1,26	1,33	1,33	1,33	1,32	1,30
15°	1,26	1,26	1,31	1,36	1,36	1,36	1,25	1,14	1,14	1,14	1,14	1,14	1,14	1,14	1,16	1,18	1,18	1,18	1,21	1,24	1,24	1,24	1,26	1,26
10°	1,23	1,23	1,32	1,40	1,40	1,40	1,26	1,13	1,13	1,13	1,13	1,13	1,13	1,13	1,16	1,19	1,19	1,19	1,18	1,16	1,16	1,16	1,20	1,23
5°	1,23	1,23	1,32	1,40	1,40	1,40	1,26	1,13	1,13	1,13	1,13	1,13	1,13	1,13	1,16	1,19	1,19	1,19	1,18	1,16	1,16	1,16	1,20	1,23
0°	1,23	1,23	1,32	1,40	1,40	1,40	1,26	1,13	1,13	1,13	1,13	1,13	1,13	1,13	1,16	1,19	1,19	1,19	1,18	1,16	1,16	1,16	1,20	1,23

ТАБЛИЦА 3 (продолжение)

е) изменчивость foF2: верхняя дециль, равенство, $50 \leq R_{12} \leq 100$

Широта	Местное время (час.)																							
	00	01	02	03	04	05	06	07	08	09	10	11	12	13	14	15	16	17	18	19	20	21	22	23
90°	1,35	1,35	1,35	1,35	1,35	1,35	1,35	1,35	1,35	1,35	1,35	1,35	1,35	1,35	1,35	1,35	1,35	1,35	1,35	1,35	1,35	1,35	1,35	1,35
85°	1,40	1,40	1,36	1,33	1,33	1,33	1,32	1,31	1,31	1,31	1,32	1,32	1,32	1,32	1,32	1,32	1,32	1,32	1,36	1,41	1,41	1,41	1,40	1,40
80°	1,45	1,45	1,38	1,31	1,31	1,31	1,29	1,27	1,27	1,27	1,28	1,28	1,28	1,28	1,29	1,30	1,30	1,30	1,38	1,47	1,47	1,47	1,46	1,45
75°	1,43	1,43	1,35	1,26	1,26	1,26	1,25	1,25	1,25	1,25	1,26	1,27	1,27	1,27	1,28	1,28	1,28	1,28	1,35	1,42	1,42	1,42	1,42	1,43
70°	1,41	1,41	1,32	1,22	1,22	1,22	1,22	1,23	1,23	1,23	1,24	1,26	1,26	1,26	1,26	1,26	1,26	1,26	1,32	1,38	1,38	1,38	1,40	1,41
65°	1,38	1,38	1,29	1,20	1,20	1,20	1,20	1,22	1,22	1,22	1,23	1,24	1,24	1,24	1,23	1,22	1,22	1,22	1,28	1,34	1,34	1,34	1,36	1,38
60°	1,35	1,35	1,26	1,17	1,17	1,17	1,18	1,20	1,20	1,20	1,22	1,23	1,23	1,23	1,20	1,18	1,18	1,18	1,24	1,29	1,29	1,29	1,32	1,35
55°	1,32	1,32	1,24	1,16	1,16	1,16	1,17	1,18	1,18	1,18	1,20	1,22	1,22	1,22	1,19	1,16	1,16	1,16	1,20	1,24	1,24	1,24	1,28	1,32
50°	1,28	1,28	1,22	1,15	1,15	1,15	1,16	1,17	1,17	1,17	1,19	1,21	1,21	1,21	1,17	1,13	1,13	1,13	1,16	1,20	1,20	1,20	1,24	1,28
45°	1,26	1,26	1,20	1,16	1,16	1,16	1,16	1,16	1,16	1,16	1,18	1,20	1,20	1,20	1,16	1,12	1,12	1,12	1,15	1,18	1,18	1,18	1,22	1,26
40°	1,22	1,22	1,19	1,16	1,16	1,16	1,16	1,16	1,16	1,16	1,17	1,18	1,18	1,18	1,15	1,12	1,12	1,12	1,14	1,17	1,17	1,17	1,20	1,22
35°	1,22	1,22	1,20	1,19	1,19	1,19	1,17	1,16	1,16	1,16	1,17	1,18	1,18	1,18	1,15	1,13	1,13	1,13	1,16	1,20	1,20	1,20	1,21	1,22
30°	1,22	1,22	1,22	1,22	1,22	1,22	1,18	1,15	1,15	1,15	1,16	1,17	1,17	1,17	1,16	1,14	1,14	1,14	1,18	1,23	1,23	1,23	1,22	1,22
25°	1,27	1,27	1,27	1,26	1,26	1,26	1,20	1,14	1,14	1,14	1,15	1,16	1,16	1,16	1,16	1,16	1,16	1,16	1,23	1,30	1,30	1,30	1,28	1,27
20°	1,32	1,32	1,31	1,30	1,30	1,30	1,22	1,13	1,13	1,13	1,14	1,15	1,15	1,15	1,16	1,17	1,17	1,17	1,27	1,37	1,37	1,37	1,34	1,32
15°	1,25	1,25	1,30	1,34	1,34	1,34	1,23	1,12	1,12	1,12	1,13	1,14	1,14	1,14	1,16	1,18	1,18	1,18	1,24	1,30	1,30	1,30	1,27	1,25
10°	1,18	1,18	1,28	1,39	1,39	1,39	1,25	1,11	1,11	1,11	1,12	1,13	1,13	1,13	1,16	1,20	1,20	1,20	1,22	1,23	1,23	1,23	1,20	1,18
5°	1,18	1,18	1,28	1,39	1,39	1,39	1,25	1,11	1,11	1,11	1,12	1,13	1,13	1,13	1,16	1,20	1,20	1,20	1,22	1,23	1,23	1,23	1,20	1,18
0°	1,18	1,18	1,28	1,39	1,39	1,39	1,25	1,11	1,11	1,11	1,12	1,13	1,13	1,13	1,16	1,20	1,20	1,20	1,22	1,23	1,23	1,23	1,20	1,18

ТАБЛИЦА 3 (продолжение)

f) изменчивость foF2: верхняя дециль, равенствие, $R_{12} > 100$

Широта	Местное время (час.)																							
	00	01	02	03	04	05	06	07	08	09	10	11	12	13	14	15	16	17	18	19	20	21	22	23
90°	1,40	1,40	1,40	1,40	1,40	1,40	1,40	1,40	1,40	1,40	1,40	1,40	1,40	1,40	1,40	1,40	1,40	1,40	1,40	1,40	1,40	1,40	1,40	1,40
85°	1,43	1,43	1,41	1,38	1,38	1,38	1,38	1,38	1,38	1,38	1,39	1,40	1,40	1,40	1,40	1,39	1,39	1,39	1,41	1,43	1,43	1,43	1,43	1,43
80°	1,46	1,46	1,42	1,37	1,37	1,37	1,36	1,35	1,35	1,35	1,38	1,40	1,40	1,40	1,39	1,38	1,38	1,38	1,42	1,46	1,46	1,46	1,46	1,46
75°	1,44	1,44	1,39	1,34	1,34	1,34	1,33	1,32	1,32	1,32	1,34	1,36	1,36	1,36	1,36	1,36	1,36	1,36	1,39	1,42	1,42	1,42	1,43	1,44
70°	1,42	1,42	1,36	1,31	1,31	1,31	1,30	1,30	1,30	1,30	1,30	1,31	1,31	1,31	1,32	1,33	1,33	1,33	1,35	1,37	1,37	1,37	1,40	1,42
65°	1,36	1,36	1,32	1,28	1,28	1,28	1,28	1,28	1,28	1,28	1,28	1,28	1,28	1,28	1,28	1,29	1,29	1,29	1,30	1,30	1,30	1,30	1,33	1,36
60°	1,30	1,30	1,28	1,25	1,25	1,25	1,26	1,27	1,27	1,27	1,26	1,24	1,24	1,24	1,24	1,25	1,25	1,25	1,24	1,24	1,24	1,24	1,27	1,30
55°	1,24	1,24	1,24	1,22	1,22	1,22	1,24	1,26	1,26	1,26	1,24	1,22	1,22	1,22	1,21	1,20	1,20	1,20	1,20	1,20	1,20	1,20	1,22	1,24
50°	1,18	1,18	1,19	1,20	1,20	1,20	1,22	1,25	1,25	1,25	1,22	1,20	1,20	1,20	1,18	1,16	1,16	1,16	1,16	1,17	1,17	1,17	1,18	1,18
45°	1,16	1,16	1,17	1,18	1,18	1,18	1,19	1,21	1,21	1,21	1,19	1,18	1,18	1,18	1,16	1,14	1,14	1,14	1,15	1,16	1,16	1,16	1,16	1,16
40°	1,15	1,15	1,16	1,16	1,16	1,16	1,16	1,17	1,17	1,17	1,16	1,16	1,16	1,16	1,14	1,12	1,12	1,12	1,13	1,14	1,14	1,14	1,14	1,15
35°	1,20	1,20	1,18	1,17	1,17	1,17	1,15	1,14	1,14	1,14	1,13	1,13	1,13	1,13	1,12	1,12	1,12	1,12	1,13	1,14	1,14	1,14	1,17	1,20
30°	1,25	1,25	1,22	1,18	1,18	1,18	1,14	1,10	1,10	1,10	1,10	1,10	1,10	1,10	1,10	1,11	1,11	1,11	1,13	1,15	1,15	1,15	1,20	1,25
25°	1,28	1,28	1,26	1,25	1,25	1,25	1,18	1,10	1,10	1,10	1,10	1,10	1,10	1,10	1,11	1,12	1,12	1,12	1,15	1,18	1,18	1,18	1,23	1,28
20°	1,31	1,31	1,32	1,32	1,32	1,32	1,22	1,11	1,11	1,11	1,11	1,11	1,11	1,11	1,12	1,12	1,12	1,12	1,16	1,20	1,20	1,20	1,26	1,31
15°	1,26	1,26	1,27	1,28	1,28	1,28	1,19	1,10	1,10	1,10	1,13	1,16	1,16	1,16	1,14	1,13	1,13	1,13	1,17	1,22	1,22	1,22	1,24	1,26
10°	1,21	1,21	1,22	1,23	1,23	1,23	1,16	1,09	1,09	1,09	1,14	1,20	1,20	1,20	1,17	1,14	1,14	1,14	1,18	1,23	1,23	1,23	1,22	1,21
5°	1,21	1,21	1,22	1,23	1,23	1,23	1,16	1,09	1,09	1,09	1,14	1,20	1,20	1,20	1,17	1,14	1,14	1,14	1,18	1,23	1,23	1,23	1,22	1,21
0°	1,21	1,21	1,22	1,23	1,23	1,23	1,16	1,09	1,09	1,09	1,14	1,20	1,20	1,20	1,17	1,14	1,14	1,14	1,18	1,23	1,23	1,23	1,22	1,21

ТАБЛИЦА 3 (окончание)

і) изменчивость foF2: верхняя дециль, лето, $R_{12} > 100$

Широта	Местное время (час.)																							
	00	01	02	03	04	05	06	07	08	09	10	11	12	13	14	15	16	17	18	19	20	21	22	23
90°	1,23	1,23	1,23	1,23	1,23	1,23	1,23	1,23	1,23	1,23	1,23	1,23	1,23	1,23	1,23	1,23	1,23	1,23	1,23	1,23	1,23	1,23	1,23	1,23
85°	1,26	1,26	1,26	1,25	1,25	1,25	1,22	1,20	1,20	1,20	1,20	1,19	1,19	1,19	1,21	1,23	1,23	1,23	1,24	1,24	1,24	1,24	1,25	1,26
80°	1,30	1,30	1,28	1,27	1,27	1,27	1,22	1,17	1,17	1,17	1,16	1,15	1,15	1,15	1,19	1,23	1,23	1,23	1,24	1,24	1,24	1,24	1,27	1,30
75°	1,26	1,26	1,25	1,24	1,24	1,24	1,21	1,18	1,18	1,18	1,17	1,16	1,16	1,16	1,19	1,22	1,22	1,22	1,23	1,24	1,24	1,24	1,25	1,26
70°	1,22	1,22	1,22	1,22	1,22	1,22	1,21	1,20	1,20	1,20	1,19	1,18	1,18	1,18	1,20	1,21	1,21	1,21	1,22	1,23	1,23	1,23	1,22	1,22
65°	1,19	1,19	1,20	1,20	1,20	1,20	1,22	1,23	1,23	1,23	1,22	1,20	1,20	1,20	1,20	1,20	1,20	1,20	1,21	1,22	1,22	1,22	1,20	1,19
60°	1,16	1,16	1,17	1,18	1,18	1,18	1,22	1,26	1,26	1,26	1,24	1,21	1,21	1,21	1,20	1,19	1,19	1,19	1,20	1,21	1,21	1,21	1,18	1,16
55°	1,15	1,15	1,16	1,16	1,16	1,16	1,22	1,28	1,28	1,28	1,26	1,24	1,24	1,24	1,21	1,19	1,19	1,19	1,19	1,20	1,20	1,20	1,17	1,15
50°	1,14	1,14	1,14	1,15	1,15	1,15	1,22	1,30	1,30	1,30	1,28	1,26	1,26	1,26	1,22	1,19	1,19	1,19	1,18	1,18	1,18	1,18	1,16	1,14
45°	1,14	1,14	1,14	1,14	1,14	1,14	1,22	1,30	1,30	1,30	1,28	1,26	1,26	1,26	1,23	1,19	1,19	1,19	1,18	1,17	1,17	1,17	1,16	1,14
40°	1,14	1,14	1,14	1,14	1,14	1,14	1,22	1,30	1,30	1,30	1,28	1,27	1,27	1,27	1,23	1,19	1,19	1,19	1,18	1,16	1,16	1,16	1,15	1,14
35°	1,15	1,15	1,15	1,14	1,14	1,14	1,21	1,28	1,28	1,28	1,26	1,28	1,28	1,28	1,21	1,18	1,18	1,18	1,17	1,16	1,16	1,16	1,15	1,15
30°	1,16	1,16	1,16	1,15	1,15	1,15	1,20	1,25	1,25	1,25	1,22	1,20	1,20	1,20	1,18	1,17	1,17	1,17	1,16	1,15	1,15	1,15	1,16	1,16
25°	1,18	1,18	1,18	1,18	1,18	1,18	1,20	1,22	1,22	1,22	1,20	1,18	1,18	1,18	1,18	1,18	1,18	1,18	1,17	1,17	1,17	1,17	1,18	1,18
20°	1,21	1,21	1,22	1,22	1,22	1,22	1,20	1,18	1,18	1,18	1,16	1,15	1,15	1,15	1,16	1,18	1,18	1,18	1,18	1,19	1,19	1,19	1,20	1,21
15°	1,23	1,23	1,22	1,22	1,22	1,22	1,19	1,16	1,16	1,16	1,16	1,16	1,16	1,16	1,18	1,20	1,20	1,20	1,20	1,21	1,21	1,21	1,22	1,23
10°	1,25	1,25	1,23	1,21	1,21	1,21	1,17	1,13	1,13	1,13	1,15	1,17	1,17	1,17	1,20	1,22	1,22	1,22	1,22	1,23	1,23	1,23	1,24	1,25
5°	1,25	1,25	1,23	1,21	1,21	1,21	1,17	1,13	1,13	1,13	1,15	1,17	1,17	1,17	1,20	1,22	1,22	1,22	1,22	1,23	1,23	1,23	1,24	1,25
0°	1,20	1,22	1,22	1,23	1,23	1,23	1,18	1,14	1,14	1,14	1,14	1,15	1,15	1,15	1,17	1,18	1,18	1,18	1,20	1,22	1,22	1,22	1,22	1,22